

Авторы выражают благодарность А. Г. Мержанову, Е. А. Некрасову за обсуждение работы и Б. Ш. Браверману за помощь в проведении металлографических исследований.

Поступила в редакцию 15/XII 1982,  
после доработки — 1/VII 1983

#### ЛИТЕРАТУРА

1. А. Г. Мержанов. Вестн. АН СССР, 1979, 8.
2. Ю. М. Максимов, А. Т. Пак и др. ФГВ, 1979, 15, 3.
3. Ю. М. Максимов, А. Г. Мержанов, А. Т. Пак и др. ФГВ, 1981, 17, 4.
4. К. И. Портной, М. Х. Левинская, В. М. Ромашов. Порошковая металлургия, 1969, 8.
5. Н. Н. Бахман, А. Ф. Беляев. Горение гетерогенных конденсированных систем. М.: Наука, 1967.
6. А. А. Зенин, А. Г. Мержанов, Г. А. Персиян. Докл. АН СССР, 1980, 250, 4.
7. В. И. Вершинников, А. К. Филопенко. ФГВ, 1978, 14, 5.
8. А. К. Филопенко, В. А. Бушин, В. И. Вершинников. ЖФХ, 1982, 2.
9. Ю. С. Найбороденко, Н. Г. Касацкий и др. Матер. VI Всесоюз. симпозиума по горению и взрыву. Алма-Ата, 1980.
10. А. К. Шурип, В. Е. Панарин. Металлы, 1974, 5.
11. Т. Ф. Федоров, Ю. Б. Кузьма. Неорганические материалы, 1967, 3, 8.
12. Г. В. Самсонов, И. М. Вишицкий. Тугоплавкие соединения. М.: Металлургия, 1976.
13. А. Г. Мержанов. Докл. АН СССР, 1977, 235, 6.
14. A. G. Merzhanov. Comb. Flame, 1969, 13, 2.
15. Д. Д. Саратовкин, П. А. Савинцев. Докл. АН СССР, 1951, 130, 4.
16. Л. К. Савицкая, П. А. Савинцев. Изв. вузов. Физика, 1961, 6.
17. И. И. Корнилов. Титан. М.: Наука, 1975.
18. Е. С. Кучеренко, И. В. Салли.— В кн.: Структура фаз, фазовые превращения и диаграммы состояния металлических систем. М.: Наука, 1974.

### РАССЕЯНИЕ МЕХАНИЧЕСКОЙ ЭНЕРГИИ И КОЭФФИЦИЕНТ ЗАТУХАНИЯ В ОТКОЛЬНО-ПОВРЕЖДЕННОМ МАТЕРИАЛЕ

А. М. Молодец, А. Н. Дремин  
(Черноголовка)

Известно [1—6], что отделившаяся в результате откола пластина испытывает затухающие продольные колебания (рис. 1). Экспериментальные графики затухающих колебаний скорости свободной поверхности пластины обычно демонстрируются как сопутствующая информация в опытах по определению откольной прочности. Однако это явление представляет интерес и само по себе [2, 3]. Действительно, рассеяние энергии в колеблющейся пластине не определяется непосредственно механическими свойствами поврежденного материала, которые необходимо знать при расчете развития откольного разрушения.

Цель данной работы — выбор реологической модели, которая отражала бы реакцию откольно-поврежденного материала на знакопеременные нагрузки.

#### ЭКСПЕРИМЕНТАЛЬНЫЕ ДАННЫЕ

Из экспериментальных графиков можно получить коэффициент затухания  $\alpha$ , который определяем по огибающей затухающих колебаний (см. рис. 1,  $a$ , штрихпунктирная линия). Эта огибающая с хорошей точностью [2] описывается экспоненциальной зависимостью

$$u(t) = w - \bar{w} \simeq u_0 \exp(-\alpha t) \sin(\omega t), \quad (1)$$

где  $w$  — текущее значение скорости свободной поверхности;  $\bar{w}$  — постоянная скорость центра инерции летящей пластины;  $\omega = 2\pi/T$  — круговая частота;  $T$  — период колебаний;  $t$  — время;  $u_0 = \text{const}$ . В (1) и в последую-

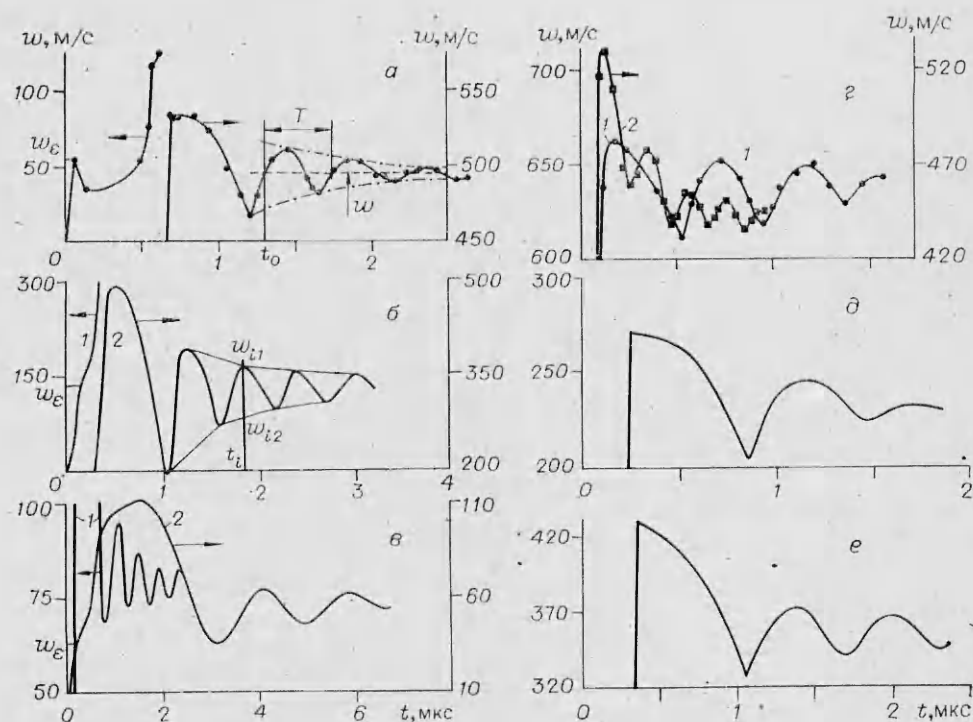


Рис. 1. Скорость свободной поверхности в зависимости от времени при отколе. Начало отсчета соответствует моменту выхода упругого предвестника на свободную поверхность.

а) железо «Армко», толщина образца  $H=19,7$  мм, нагружение — удар алюминиевой пластиной толщиной  $H_y=2$  мм со скоростью  $v_0=1,31$  км/с; б) титан ВТ6 [4]; в) уран, 1, 2 — [5] рис. 11, в и 10, с соответственно; г) никель НП2, 1 — удар алюминиевой пластиной,  $H_y=2$  мм,  $v_0=1,31$  км/с,  $H=9,4$  мм, 2 —  $H_y=1$  мм,  $v_0=1,31$  км/с,  $H=9,5$  мм; д) медь М2 [6]; е) алюминий АД1 [6].

ющих формулах начало отсчета времени соответствует первому после выхода откольного импульса нулевому значению  $w - \bar{w}$ . На рис. 1, а этот момент обозначен  $t_0$ .

Процедура определения  $\alpha$  описана в [2]. Однако в пределах погрешностей [2] коэффициент затухания можно определить и так, как поясняется на рис. 1, б. От момента первого минимума отсчитывается время  $T_n$ , соответствующее  $n$  ( $n=2 \div 5$ ) полным колебаниям, и находится период  $T = T_n/n$ . Соединяя между собой соседние максимумы и соответственно минимумы  $w(t)$  отрезками прямых, получаем интерполяцию огибающей затухающих колебаний в виде ломаных линий. Пользуясь этой интерполяцией, можно графически вычислить

$$\frac{1}{2}(w_{i1} - w_{i2}) \approx u(t_i) = u_0 e^{-\alpha t_i} (-1)^i, \quad (2)$$

где  $t_i \approx T/4 \cdot (2i + 1)$ ,  $i = 0, 1, 2, \dots$ , а способ определения величины  $w_{i1}$ ,

Материал	$\alpha \pm 10\%$ , мкс <sup>-1</sup>	$\omega$ , МГц	$u_0$ , м/с	$t_M$ , мкс
Fe («Армко»)	1,56	14,0	25,8	0,32
Ti (ВТ6)	1,61	22,4	70,8	0,31
U	0,52	3,6	15,8	0,94
U	0,63	13,7	8,5	0,79
Ni(НП2)	0,96	15,0	21,5	0,52
Cu(М2)	2,55	10,5	23,3	0,185
Al(АД1)	0,68	10,1	22,2	0,73

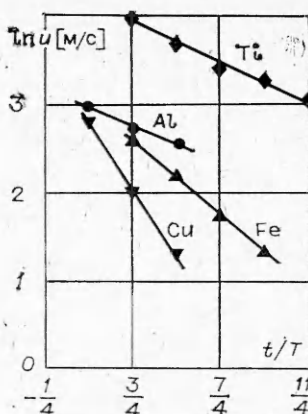
Рис. 2. Результаты обработки экспериментальных графиков рис. 1.

$w_{i2}$  понятен из рис. 1, б. После логарифмирования (2) можно записать

$$\ln |1/2 \cdot (w_{i1} - w_{i2})| \approx -\alpha t_i + \ln u_0. \quad (3)$$

Проводя в координатах  $\ln |1/2 \cdot (w_{i1} - w_{i2})|$ ,  $t_i$  прямую через точки  $(\ln |1/2 \cdot (w_{i1} - w_{i2})|, t_i)$ , можно определить  $\alpha$  и  $u_0$ . На основе экспериментальной информации рис. 1 на рис. 2 нанесены в соответствии с (3) данные для разных металлов. Линии на рис. 2 проведены методом наименьших квадратов, их наклоны в соответствии с (2), (3) равны коэффициентам затухания  $\alpha$ , значения которых приведены в таблице. Здесь даны частота  $\omega = 2\pi/T$  и значения  $u_0$ .

Отметим, что зависимость величин  $(w_{i1} + w_{i2})/2$  от времени  $t_i$  дает представление о том, как изменяется средняя скорость свободной поверхности во времени. В частности, если к моменту  $t_i$  отделение пластины уже произошло, то  $(w_{i1} + w_{i2})/2 \approx \bar{w}$ . Так, для линии 1 на рис. 1, в это происходит приблизительно в районе третьего минимума  $w(t)$ . До него полуразрушенный слой между откольной пластиной и остатком мишени еще обладает существенной прочностью, что приводит к дополнительному отбору энергии от импульса, циркулирующего в откольной пластине. Следовательно, в течение этого времени коэффициент затухания, определенный по (3), будет завышенным. Поэтому когда отделение откольной пластины не успевает произойти в течение полупериода, как это наблюдается для урана и никеля (см. линии 1 рис. 1, в и г), то для определения коэффициента затухания  $\alpha$  необходимо использовать ту часть экспериментального графика, где  $(w_{i1} + w_{i2})/2$  не изменяется с течением времени. В соответствии с этим замечанием определен коэффициент  $\alpha$  для кривой 1 рис. 1, в. Это значение  $\alpha$  соответствует частоте  $\omega \approx 13,7$  МГц и также приведено в таблице.



### ОБСУЖДЕНИЕ ЭКСПЕРИМЕНТАЛЬНЫХ ДАННЫХ

Сравнение коэффициентов затухания для различных металлов показывает, что эта величина меняется от материала к материалу. Так, при близких величинах  $u_0$  и  $\omega$  значение  $\alpha$  для никеля в 1,5 раза меньше, чем у железа, и в 2,5 раза меньше, чем у меди.

Коэффициент затухания оказывается чувствительным и к изменению исходных свойств металла. Например, термическая обработка стали (закалка) приводит к уменьшению  $\alpha$  [2]. Кроме этого, когда направление колебаний параллельно направлению механической прокатки,  $\alpha$  оказывается меньшим, чем в случае, если эти направления перпендикулярны. Таким образом, величина  $\alpha$  есть характеристика, отражающая начальные механические свойства металла.

Однако эта величина определяется не только теми свойствами материала, которые он имел до ударно-волнового нагружения, но и теми, которые он приобрел в результате нагружения. Действительно, рассеяние энергии имеет место и тогда, когда амплитуда колебаний меньше величины упругого предвестника  $w$ , как, например, для железа, титана, урана (см. рис. 1, а—в). Если бы свойства материала не изменялись, то колебания откольной пластины для этих металлов происходили бы в упругой области и затухание отсутствовало бы или было бы гораздо меньше наблюдаемого. Тот факт, что в эксперименте имеет место обратная ситуация, означает, что механические свойства материала в результате ударно-волнового нагружения изменяются существенно.

## ИНТЕРПРЕТАЦИЯ ЭКСПЕРИМЕНТАЛЬНЫХ ДАННЫХ

Очевидно возможны различные причины диссипации энергии механических колебаний в металле (см., например, [7]). Однако известно [8], что отколовшаяся пластина содержит большое количество мелких пустот. Поэтому естественно предположить, что рассеяние механической энергии в откольной пластине в значительной мере обусловлено именно поврежденностью. Если это так, то главными являются следующие причины рассеяния механической энергии: зарождение новых пустот, рост имеющихся пустот и пластическая деформация в окрестностях пустот. По-видимому, в условиях экспериментов рис. 1 наибольший вклад вносит третий механизм, а двумя другими можно пренебречь. Поводом для такой идеализации могут служить эксперименты [3], а точнее сравнение опытов 2 и 10 этой работы.

В опыте 2 при первом действии импульса растяжения откол не реализовался и, следовательно, начальная поврежденность пластины отсутствовала или была незначительной. Затухание в этом случае составило  $\alpha = 0,18 \text{ мкс}^{-1}$ . В опыте 10 имел место откол, поэтому откольная пластина с самого начала колебаний обладала поврежденностью. Несмотря на то, что амплитуды колебаний в этом опыте в 1,5 раза ниже, коэффициент затухания оказывается в 3 раза больше, чем в опыте 2. Итак, если поврежденность отсутствует, то затухание колебаний гораздо меньше, чем в том случае, когда колеблется поврежденная пластина. Следовательно, на образование и рост пустот тратится существенно меньше энергии, чем на пластическую деформацию около пустот.

Таким образом, ограничиваясь амплитудами колебаний, примерно равными упругим предвестникам, можно предложить следующий механизм поглощения энергии в колеблющейся откольной пластине. При нагружении металла с полостями последние «работают» как концентраторы напряжений и в окрестностях полостей возможно местное пластическое течение даже тогда, когда вдали от повреждений материал деформируется упруго. Поэтому уже при малых прикладываемых напряжениях макроскопические скорости деформации будут содержать наряду с упругими и вязкостные составляющие. Выразим это предположение в терминах вязкоупругой модели Максвелла.

Пусть в главных осях  $x, y, z$  упругая деформация, обозначаемая индексом  $e$  ( $\epsilon^e = \epsilon_x^e + \epsilon_y^e + \epsilon_z^e$ ), связана со средним напряжением  $\sigma = 1/3 \cdot (\sigma_x + \sigma_y + \sigma_z)$  соотношением

$$\sigma = K_f \epsilon^e, \quad (4)$$

где напряжение и деформации приняты положительными при растяжении;  $K_f$  — объемный модуль поврежденного материала. Для этой величины и используемого в дальнейшем модуля сдвига поврежденного материала  $G_f$  воспользуемся соотношениями из [9]

$$\begin{aligned} K_f &= K \left[ 1 - \left( 1 + \frac{3}{4} \frac{K}{G} \right) \xi \right], \\ G_f &= G \left[ 1 - 15 \left( \frac{3K + 6G}{27K + 38G} \right) \xi \right], \end{aligned} \quad (5)$$

которые справедливы для материала со сферическими пустотами. Объемное содержание пустот  $\xi$  определяется как отношение объема полостей к общему объему ( $\xi < 1$ ). В (5)  $K$  и  $G$  — соответственно объемный модуль и модуль сдвига неповрежденного материала. Поскольку появлением новых полостей пренебрегаем, то везде в дальнейшем  $\xi$  считаем заданной, не зависящей от времени величиной.

Соответствующее (4) уравнение для скорости упругой деформации имеет вид

$$\sigma = \dot{K}_f \epsilon^e. \quad (6)$$

Для вязкой деформации, обозначаемой индексом  $v$ , примем

$$\dot{\varepsilon}^v = \sigma / \eta_v, \quad (7)$$

где  $\eta_v$  — объемная вязкость поврежденного материала. Вводя обозначение для времени объемной релаксации  $\theta_v = \eta_v / K$  и считая, что суммарная скорость объемной деформации определяется как

$$\dot{\varepsilon} = \dot{\varepsilon}^e + \dot{\varepsilon}^v, \quad (8)$$

запишем с помощью (6)—(8)

$$\dot{\varepsilon} = \sigma / K_f \theta_v + \dot{\sigma} / K_f. \quad (9)$$

Подобно (4)—(9) запишем для скоростей деформации сдвига

$$\begin{aligned} \tau_1 &= G_f \gamma_1^e, \\ \dot{\gamma}_1^v &= \tau_1 / \eta_s, \end{aligned} \quad (10)$$

$$\theta_s = \eta_s / G_f,$$

$$\dot{\gamma}_1 = \dot{\gamma}_1^e + \dot{\gamma}_1^v,$$

$$\dot{\gamma}_1 = \tau_1 / G_f \theta_s + \dot{\tau}_1 / G_f. \quad (11)$$

В уравнениях (10), (11)

$$\tau_1 = (\sigma_x - \sigma_y) / 2 \quad (12)$$

— наибольшее касательное напряжение;

$$\gamma_1 = \varepsilon_x - \varepsilon_y \quad (13)$$

— максимальная деформация сдвига;  $G_f$  — модуль сдвига поврежденного материала (5);  $\eta_s$  — сдвиговая вязкость поврежденного материала;  $\theta_s$  — время сдвиговой релаксации. Соотношения, аналогичные (10)—(13), имеют место и для остальных двух значений сдвигового напряжения и сдвиговой деформации.

В случае одноосной деформации, когда  $\varepsilon_x \neq 0$ ,  $\varepsilon_y = \varepsilon_z = 0$ ,  $\sigma_x \neq \sigma_y = -\sigma_z$ , уравнения (9) и (11) можно записать

$$\dot{\varepsilon}_x = \frac{\sigma_x + 2\sigma_y}{3K_f \theta_v} + \frac{\dot{\sigma}_x + 2\dot{\sigma}_y}{3K_f}, \quad (14)$$

$$\dot{\gamma}_1 = \dot{\varepsilon}_x = \frac{\sigma_x - \sigma_y}{2G_f \theta_s} + \frac{\dot{\sigma}_x - \dot{\sigma}_y}{2G_f}. \quad (15)$$

Комбинируя (14) и (15), получим

$$3K_f \theta_s \dot{\varepsilon}_x + 4G_f \theta_s \dot{\varepsilon}_x = 3\dot{\sigma}_x + (\theta_v + 2\theta_s) \dot{\sigma}_x + \dot{\sigma}_y (2\theta_v - 2\theta_s). \quad (16)$$

Поскольку предполагается, что и сдвиговая, и объемная релаксации в данном случае обусловлены одним и тем же процессом — пластической деформацией около полостей, то естественно принять, что и характерные времена  $\theta_s$  и  $\theta_v$  имеют одно и то же значение  $\theta_M$ . Приняв  $\theta_s = \theta_v = \theta_M$ , из (16) получим определяющее соотношение для одноосной деформации поврежденного материала

$$\sigma_x + \theta_M \dot{\sigma}_x = \theta_M \left( K_f + \frac{4}{3} G_f \right) \dot{\varepsilon}_x. \quad (17)$$

Модель (17), состоящая из пружины и демпфера, представлена на рис. 3.

Соотношение (17) позволяет экспериментально измеряемые величины — коэффициент затухания  $\alpha$  и скорость звука  $C$  — в откольно-поврежденном материале связать с параметрами модели  $\theta_M$ ,  $K_f$ ,  $G_f$ . Для этого рассмотрим на основе (17) затухание одномерных свободных колебаний

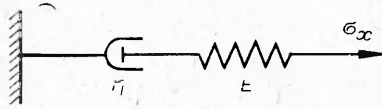


Рис. 3. Механическая модель определяющего соотношения (17);  $E = K_f + 4/3 \cdot G_f$ ,  $\eta = \theta_M K_f + \theta_M \cdot 4/3 \cdot G_f$ .

в откольно-поврежденной пластине в системе координат, движущейся со скоростью центра инерции  $\dot{w}$  свободно летящей пластины.

Обозначим лагранжеву координату в этой системе  $h$ , отсчитывая ее от тыльной поверхности откольной пластины. В качестве начала отсчета времени по-прежнему принимаем момент  $t_0$  (см. рис. 1). Таким образом, нужно найти решение волнового уравнения

$$\frac{\partial^2 \epsilon_x}{\partial t^2} = \frac{1}{\rho_f} \frac{\partial^2 \sigma_x}{\partial h^2} \quad (18)$$

совместно с (17) при соответствующих начальных и граничных условиях. В (18)  $\rho_f = \rho_0(1 - \xi)$  — начальная плотность материала;  $\rho_0$  — плотность неповрежденного материала.

Обсудим начальные и граничные условия данной задачи. В момент  $t = t_0$  откольная пластина сжата, а деформация  $\epsilon_x(h, t_0) = \epsilon_x(h, 0)$  равна нулю на обеих поверхностях пластины и достигает экстремального значения внутри пластины. Поскольку дальнейшее поведение пластины удовлетворительно описывается синусоидальной функцией (1), то естественно принять, что при  $0 \leq h \leq l$

$$\epsilon_x(h, 0) = -\epsilon_0 \sin \frac{\pi}{l} h, \quad (19)$$

где  $\epsilon_0$  — постоянная. С той же степенью точности положим, что скорость деформации в начальный момент времени равна нулю, т. е.

$$\dot{\epsilon}_x(h, 0) = 0. \quad (20)$$

Так как поверхности пластины свободны, то при  $t \geq 0$

$$\begin{aligned} \epsilon_x(0, t) &= 0, \\ \epsilon_x(l, t) &= 0. \end{aligned} \quad (21)$$

Согласно [8], распределение объемного содержания полостей  $\xi(h)$  в начальный момент времени представляет собой убывающую функцию толщины откольной пластины. Так, для сохраненных медных образцов относительный объем пор изменяется примерно линейно от  $\approx 10^{-3}$  при  $h = 0$  до  $\approx 10^{-4}$  при  $h \approx l$ . В то же время концентрация пустот практически постоянна и составляет  $\approx 3 \cdot 10^6 \text{ см}^{-3}$  по всей толщине пластины. Но поскольку в отношении рассеяния энергии важен не столько суммарный объем полостей, сколько их концентрация, то можно положить  $\xi = \xi_0$  по всей толщине пластины, т. е.

$$\xi(h, 0) = \xi_0 = \text{const}. \quad (22)$$

Итак, следует решить задачу, определяемую уравнениями (17)–(22).

При изучении реакции материала на синусоидальные нагрузки удобно пользоваться комплексными величинами (см., например, [7]), обозначаемыми в дальнейшем звездочками

$$\sigma^* = E^* \epsilon^*. \quad (23)$$

Здесь  $\epsilon^* = \epsilon_0 e^{j\omega t}$  — комплексная деформация;  $\sigma^* = \sigma_0 e^{j(\omega t + \delta)}$  — комплексное напряжение;  $E^* = E_r + jE_i$  — комплексный модуль с действительной частью  $E_r$  и мнимой  $E_i$ ,  $j$  — мнимая единица;  $\epsilon_0$ ,  $\sigma_0$ ,  $\delta$  — действительные величины. Физический смысл имеют действительные части  $\epsilon^*$  и  $\sigma^*$ . Подставляя (23) в (17) и отделяя действительную часть от мнимой, находим

$$E_r = \frac{(\theta_M \omega)^2 (K_j + 4/3 \cdot G_j)}{1 + (\theta_M \omega)^2},$$

$$E_i = \frac{(\theta_M \omega) (K_j + 4/3 \cdot G_j)}{1 + (\theta_M \omega)^2}.$$
(24)

Будем искать решение (18) в виде

$$\varepsilon^* = \frac{A}{2j} e^{-\alpha t} e^{j(\omega t + \varphi)} (e^{jkh} - e^{-kh}).$$
(25)

Действительная часть (25) удовлетворяет начальным (19), (20), (22) и граничным (21) условиям, а связь между  $\varepsilon^*$  и  $\sigma^*$  задана (23), (24). В (25)  $\omega$ ,  $\alpha$ , как и ранее, — круговая частота и коэффициент затухания;  $k = \omega/C$  — волновое число;  $C$  — скорость звука;  $A$ ,  $\varphi$  — константы. Начальные условия (19), (20) для действительной части (25) удовлетворятся при

$$A = -\varepsilon_0 / \cos \varphi, \quad \operatorname{tg} \varphi = -\alpha / \omega.$$
(26)

Граничные условия (21) также удовлетворяются, так как при  $h=0$ ,  $h=l$  разность экспонент в (25) равна нулю.

Подставляя (25) в волновое уравнение (18) и учитывая (23), получим после разделения действительных и мнимых частей уравнения, связывающие  $E_r$ ,  $E_i$  с коэффициентом затухания  $\alpha$  и волновым числом  $k$ ,

$$\alpha^2 - \omega^2 = -E_r / \rho_j \cdot k^2,$$

$$2\alpha\omega = E_i / \rho_j \cdot k^2.$$
(27)

Решая систему (27) с учетом (24), получим

$$\theta_M = \frac{1}{2\alpha} - \frac{\alpha}{2\omega^2},$$
(28)

$$\alpha = \omega^2 \theta_M [-1 + \sqrt{1 + (\omega \theta_M)^{-2}}],$$
(29)

$$C^2 = \left(\frac{\omega}{k}\right)^2 = \frac{K_j + 4/3 \cdot G_j}{\rho_j^2 [1 + (\omega \theta_M)^2] [-1 + \sqrt{1 + (\omega \theta_M)^{-2}}]}.$$
(30)

Найдем также выражение для скорости свободной поверхности  $h=l = \text{const}$ . Для этого проинтегрируем (25) по  $h$  при постоянном  $t$ , в результате чего получим комплексное смещение. Затем дифференцируя по времени при постоянной  $h$  результат интегрирования, получим комплексную массовую скорость частиц в зависимости от  $t$  и  $h$ . Взяв значение этой производной в точке  $h=l$  с учетом (26), получим комплексную скорость свободной поверхности  $u^*(l, t)$ . Математические выкладки после выделения действительной части дают

$$u(l, t) = \varepsilon_0 \left( \frac{\alpha^2 + \omega^2}{k\omega} \right) e^{-\alpha t} \sin \omega t,$$
(31)

что совпадает с (1), если положить

$$u_0 = \varepsilon_0 (\alpha^2 + \omega^2) / k\omega = \varepsilon_0 C (1 + \alpha^2 / \omega^2).$$
(32)

Итак, отождествляя (31) с (1), имеем соотношения (28)—(30), на основании которых можно сделать конкретные выводы, допускающие экспериментальную проверку.

#### ОБСУЖДЕНИЕ РЕЗУЛЬТАТОВ

В таблице представлены значения  $\theta_M$ , вычисленные по формуле (28). Видно, что величина  $(\theta_M \omega)^2 \gg 1$ , что позволяет записать (29) и (30) в следующем виде:

$$\alpha \approx 1/2\theta_M,$$
(33)

$$C^2 \approx \frac{(K_j + 4/3 \cdot G_j) (\omega \theta_M)^2}{\rho_j [1 + (\omega \theta_M)^2]}.$$
(34)

Из (33) следует, что при  $\omega \sim 1$  МГц коэффициент затухания практически не зависит от частоты. Этот вывод подтверждается данными для урана, у которого (см. таблицу) коэффициент затухания в пределах погрешностей остается одним и тем же при увеличении частоты почти в 4 раза. Из (34) видно, что скорость звука при  $\xi \ll 1$  слабо зависит от объемного содержания полостей. Действительно, величины  $K_f$ ,  $G_f$ ,  $\rho_f$  содержат примерно одинаковый множитель  $(1 - m\xi)$ , где для металлов, согласно (5),  $m \approx 1 \div 3$ . Поэтому при  $\xi \sim 10^{-3}$   $(K + 4/3 \cdot G)/\rho_0 \approx (K_f + 4/3 \cdot G_f)/\rho_f$  с точностью до  $\sim 0,1\%$ , что позволяет переписать (34) как

$$C^2 \approx \frac{K + 4/3 \cdot G}{\rho_0} \frac{(\omega\theta_M)^2}{[1 + (\omega\theta_M)^2]} \quad (35)$$

или

$$C \approx C_l \frac{\omega\theta_M}{\sqrt{1 + (\omega\theta_M)^2}}, \quad (36)$$

где  $C_l$  — скорость продольных звуковых волн в неповрежденном материале.

Более существенна зависимость  $C$  от частоты. Определим величину этого эффекта, например, для железа. Для этого металла  $C_l = 6,0$  км/с. Используя для железа значения  $\theta_M$  и  $\omega$  из таблицы, получим по формуле (36)  $C = 5,85$  км/с, т. е.  $C$  отличается от  $C_l$  на  $\sim 3\%$ .

Воспользовавшись результатами опытов 5, 9, 10 работы [3], где исследовался откол в стали ЭИ 712, получим для этого металла в соответствии с (36)  $C \sim 5,73$  км/с. Именно такая скорость распространения импульса напряжения в откольной пластине экспериментально наблюдалась в [3].

Таким образом, определяющее соотношение (17) качественно и количественно отражает важные черты поведения откольно-поврежденного материала при знакопеременных нагрузках.

В то же время очевидно, что результаты данной работы справедливы лишь в определенных рамках. Во-первых, необходимо, чтобы  $\xi \ll 1$ , в то же время концентрация дефектов должна быть велика. Во всяком случае удовлетворительные результаты получаются при  $\xi \sim 10^{-2} \div 10^{-3}$  и при концентрации полостей  $\sim 10^6 - 10^7$  см<sup>3</sup>. Во-вторых, при малых частотах модель заведомо несправедлива, так как приводит к нулевой скорости звука. По частотам область применимости составляет  $\sim 1 - 10$  МГц. Наконец, в предыдущей части предполагалось, что амплитуда колебаний близка к величине упругого предвестника. При очень больших амплитудах следует учитывать изменение во времени объемного содержания пустот  $\xi$ .

В заключение отметим, что величина  $\alpha$  (и, следовательно,  $\theta_M$ ) может помимо всего прочего зависеть от геометрической формы полостей. Действительно, пустоты могут иметь вид как округлых пор, так и клинообразных трещин [8]. В последнем случае следует ожидать больших концентраций напряжений около пустот. Если же по-прежнему отсутствует рост полостей, то большая концентрация напряжений приведет к более интенсивному рассеянию энергии.

Поступила в редакцию 11/V 1983

#### ЛИТЕРАТУРА

1. С. А. Новиков, И. И. Дивнов, А. Г. Иванов. ФММ, 1966, 21, 4.
2. А. М. Молодец. — В кн.: Детонация. Критические явления. Физико-химические превращения в ударных волнах. Черногловка, 1978.
3. А. Г. Иванов, О. А. Клещевников, В. И. Цыкин и др. ФГВ, 1981, 17, 6.
4. Г. И. Канель, Э. Н. Петрова. — В кн.: Детонация. Вып. II. Черногловка, 1981.
5. S. Cochran, D. Banner. J. Appl. Phys., 1977, 48, 7.
6. Г. И. Канель. ФГВ, 1982, 18, 3.
7. Физическая акустика. Ред. У. Мэзон. Т. III, ч. А. М.: Мир, 1969.
8. T. W. Varbee a. o. J. Materials IMLSA, 1972, 7, 3.
9. Р. Кристенсен. Введение в механику композитов. М.: Мир, 1982.